

اندازه گیری تنش‌های پسماند در تکنیک جوشکاری اصطکاکی به روش سوراخکاری مرکزی

دانشیار، دانشکده مهندسی مکانیک، دانشگاه علم و صنعت ایران، تهران، ایران

فتح‌الله طاهری بهروز

دانشجوی کارشناسی، دانشکده مهندسی مکانیک، دانشگاه علم و صنعت ایران، تهران، ایران

محمود معروفی

کارشناس ارشد، دانشکده مهندسی مکانیک، دانشگاه علم و صنعت ایران، تهران، ایران

وحید هادی زاده

استادیار، مرکز تحقیقات جوش و اتصال، دانشکده مهندسی صنایع، دانشگاه علم و صنعت ایران، تهران، ایران

محمد رضا محمد علیها

چکیده

جوشکاری اصطکاکی اغتشاشی یک جوشکاری حالت‌جامد محسوب می‌شود که امروزه کاربرد گسترده‌ای به خصوص در جوشکاری‌های غیر هم‌جنس پیدا کرده است، مخصوصاً آلیازهای آلومینیوم سری ۷۰۰۰ که قابلیت جوشکاری ذوبی را ندارند. این روش نه تنها محدودیت‌های جوشکاری ذوبی را ندارد بلکه به دلیل عدم ذوب قطعات امکان اتصال فلزات با نقطه ذوب متفاوت را نیز دارد. در این تحقیق به روش تجربی مطالعه تنش پسماند ناشی از جوشکاری اصطکاکی اغتشاشی غیر مشابه بین آلیازها T6-6061 و 7075-T6 مقایسه آن با جوشکاری معمولی ذوبی آلیاز 6061-T6 به وسیله روش سوراخکاری مرکزی صورت گرفته است. همچنین با استفاده از این روش تغییرات تنش پسماند در راستای ضخامت نیز برای دو نمونه اندازه‌گیری گردیده و نشان داده شد که تنش پسماند در جوشکاری اصطکاکی به نسبت کمتر و توزیع یکنواختی نسبت به جوشکاری ذوبی دارد. بیشینه تنش در جوش ذوبی درست در محل خط جوش است ولی در جوش اصطکاکی با فاصله از خط جوش تنش پسماند بیشینه می‌گردد. سختی دو نمونه نیز با روش میکرو سختی سنج ویکز اندازه‌گیری و با یکدیگر مقایسه گردید. نتایج به دست آمده نشان داد که در جوشکاری اصطکاکی منطقه TMAZ کمترین میزان سختی نسبت به HAZ و ناگزرا دارا است اما سختی آن از سختی فلز پایه بیشتر است.

واژه‌های کلیدی: جوشکاری اصطکاکی اغتشاشی، روش سوراخکاری مرکزی، تنش پسماند.

Measurements of Residual Stresses in Friction Welding Using the Hole Drilling Method

F. Taheri-Behrooz

School of Mechanical Engineering, Iran University of Science and Technology, Tehran, Iran

M. Maroofi

School of Mechanical Engineering, Iran University of Science and Technology, Tehran, Iran

V. Hadizadeh

School of Mechanical Engineering, Iran University of Science and Technology, Tehran, Iran

M. R. M. Aliha

Welding and Joining Research Center, School of Industrial Engineering, Iran University of Science and Technology, Tehran, Iran

Abstract

Friction Stir Welding is a solid-state process, which means that the objects are joined without reaching melting point. Which has demonstrated very high suitability for the joining of dissimilar aluminium alloys. The aim of this investigation was to study residual stress and micro hardness distribution in different zones of dissimilar friction stir welding of AA6061-T6 and AA7075-T6 and compare it with the tungsten inert gas (TIG) welding of AA6061-T6 by using increment hole drilling technique. Also The evolution of the residual stresses in the thickness direction was investigated, it was found that the maximum residual stresses are below the yield strength of the material in the shoulder region and showed that the longitudinal residual stresses in the joint were much larger than the transverse residual stresses. Vickers micro hardness measurements were performed in the transverse cross section of the samples, the results showed that Hardness peak values were observed in SZ region adjacent to the advancing side whereas low hardness regions were measured across the weld corresponding to the HAZ of both alloys and at the SZ adjacent to the retreating side.

Keywords: Friction stir weld, Hole drilling method, Residual stress.

رسانایی گرمایی به مشکلات گفته شده افزون می‌گردد. مثلاً تغییر در ضریب انبساط باعث ایجاد تنش‌های پسماند غیرقابل قبولی در جوش می‌شود. با توجه به خواص گرمایی آلومینیوم AA6061 و AA7075 که حدود ۱۰۰ درجه سانتی‌گراد در دمای شروع ذوب متفاوت می‌باشد نمی‌توان آن‌ها را با استفاده از جوشکاری ذوبی به یکدیگر متصل کرد برای رفع این مشکل در سال ۱۹۹۱ در انسٹیتو جوش انگلستان جوشکاری اصطکاکی اغتشاشی^۱ اختراع شد این جوشکاری یک فرایند

۱- مقدمه

در جوشکاری ذوبی آلومینیوم و آلیازهای آن مشکلات عدیدهای از قبیل کنترل دمای ذوب، رسانایی گرمایی بالای آلومینیوم، بالا بودن انبساط و انقباض آلومینیوم و آلیازهای آن، کاهش مقاومت به خوردگی در ناحیه ذوب شده، حلالیت بالای هیدروژن در آلومینیوم مذاب، بروز ترک گرم و غیره به وجود می‌آید. همچنین برخی از آلیازهای آلومینیوم از قبیل سری ۲۰۰۰ و ۷۰۰۰ قابلیت جوشکاری ذوبی نداشته یا خواص استحکام در ناحیه جوش بهشت پایین می‌آید. علاوه بر آن در جوشکاری‌های غیر مشابه اختلاف در دمای ذوب، ضریب انبساط و

^۱ Friction stir weld (FSW)

*نویسنده مکاتبه کننده، آدرس پست الکترونیکی: taheri@iust.ac.ir

تاریخ دریافت: ۹۵/۰۱/۲۰

تاریخ پذیرش: ۹۵/۰۵/۳۱

روش اشعه X اندازه‌گیری کرد. در سال ۲۰۰۸ لینتون [۷] تنش پسماند را در جوشکاری اصطکاکی در آلومینیوم‌های سری ۷۰۰۰ با استفاده از روش پراش نوترونی^۲ به دست آورد و نشان داد که باگذشت زمان چگونه تنش پسماند تغییر می‌کند، همچنین نشان داد که تنش پسماند در ناحیه جوش باگذشت زمان کاهش می‌یابد و در ناحیه تحت تأثیر گرمای این تنش باگذشت زمان کاهش می‌یابد. همچنین وو [۸] نیز در سال ۲۰۰۶ با استفاده از روش پراش نوترونی در آلومینیوم‌های سری ۶۰۰۰ (AA6061-T6) نشان داد که اعوجاج زاویه‌ای هندسی می‌تواند منجر به توزیع غیریکنواخت گرمای تولیدی به‌وسیله شانه ابزار منجر شود و آن باعث توزیع غیریکنواخت تنش پسماند در راستای ضخامت قطعه می‌گردد.

در سال ۲۰۱۳ جانکر [۹] گشتوار، دما و سختی را در جوشکاری اصطکاکی اغتشاشی متشابه و غیر متشابه در آلومینیوم‌های از جنس AA2014-T6 و AA6061-T6 با ضخامت ۴/۷ میلی‌متر بررسی کرد او همچنین تأثیر فاصله مجانبی ابزار و از خط جوش که به آن آفست گویند و در جوشکاری غیر متشابه پارامتر مهمی محسوب می‌گردد او نشان داد که توان موردنیاز در جوشکاری غیر متشابه مقداری مایین توان موردنیاز در جوشکاری متشابه دو فلز است و همچنین دما که به همین شکل است. در سال ۲۰۱۴ کول [۱۰] تأثیر آفست در جوش اصطکاکی اغتشاشی غیر متشابه بین ۴/۷۶ AA7075-T6 و AA6061-T6 آلومنیوم‌های ۴/۷۶ میلی‌متر را روی استحکام جوش بررسی کرد او با اندازه‌گیری پیوسته دما در مز بین ابزار و قطعه تأثیر آفست ابزار به‌طرف سمت برگشتی بررسی کرد او نشان داد که اگر آفست ابزار به‌طرف سمت برگشتی (AA7075) باشد استحکام کششی جوش افزایش می‌یابد. در سال ۲۰۰۳ تراساکی [۱۱] کرنش‌های ذاتی را با استفاده از روش لایبرداری برای جوشکاری اصطکاکی اغتشاشی و جوشکاری قوسی با گاز محافظه برای آلومینیوم 6063-T5 با ضخامت ۵ میلی‌متر انجام داد. وی با استفاده از ترمومکوپل، دمای بیشینه را اندازه‌گیری کرده و نشان داد که کرنش ذاتی در جوشکاری اصطکاکی حاصل جمع مقداری فشاری در اثر بار فشاری وارد و مقداری منفی در اثر گرمای ورودی است به همین دلیل مقدار کرنش ذاتی در جوشکاری اصطکاکی کمتر از جوشکاری قوسی است. در سال ۲۰۱۴ جیو [۱۲] تأثیر پارامترهای جوشکاری را روی جریان ماده، میکرو ساختار و خواص مکانیکی جوشکاری اصطکاکی اغتشاشی غیر متشابه روی آلومینیوم‌های AA7075 و AA6061-T6 بررسی کرد او دما را در طول جوشکاری با استفاده از ترمومکوپل نوع K اندازه‌گیری کرد. وی نشان داد که برای مخلوط شدن بهتر مواد باید AA6061 در سمت پیش‌رونده^۳ و AA7075 در سمت پس‌رونده^۴ قرار داشته باشد. وی همچنین نشان داد که اندازه دانه‌ها در هر دو فلز کاهش می‌یابد ولی در AA7075 کاهش بیشتری دارد او نشان داد که همه نمونه‌ها در ناحیه HAZ در سمت AA6061 می‌شکند.

² Neutron diffraction

³ Advancing side

⁴ Retreating side

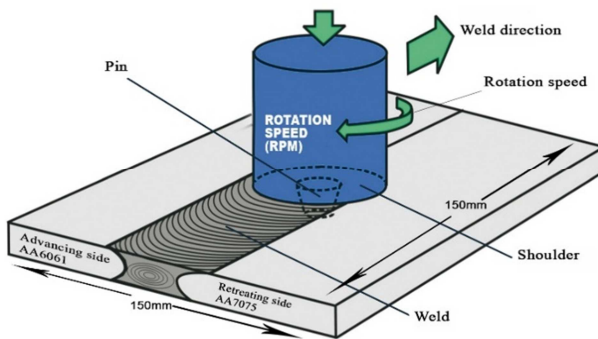
³ Tungsten inert gas (TIG) welding

حالت حاصل محاسبه می‌شود که گرمای لازم برای جوش را از اصطکاک به دست می‌آورد و قطعات بدون رسیدن به نقطه جوش به هم متصل می‌شوند [۱]. به دلیل عدم ذوب، جوشکاری اصطکاکی خیلی از عیوب جوشکاری‌های معمولی ذوبی نظیر ایجاد تخلخل و حفره، ذوب ناقص (به علت لایه‌های اکسیدی)، نفوذ ناقص، ترک و ناخالصی اتفاق نمی‌افتد. همچنین ضریب انبساط گرمایی آلیاژهای آلومینیم زیاد و حدود دو برابر فولاد هست، لذا اتصالات جوش آلومینیم، در حین سرد شدن سریع از دمای ذوب، دارای تمرکز تنش پس‌ماند قابل ملاحظه‌ای می‌شوند. تحقیقات زیادی در خصوص اندازه‌گیری تنش‌های پس‌ماند در اتصالات جوش‌های اصطکاکی انجام شده است. در سال ۲۰۱۱ کاسترو [۲] و همکارانش در جوشکاری اصطکاکی اغتشاشی در یک اتصال تی شکل^۱ میدان تنش پسماند را به روش سوراخکاری مرکزی مشخص کردند. فلنچ جوش از آلومینیوم AA6056 و جان جوش از جنس AA7075 است. نتایج نشان داد که میدان تنش پسماند در ناحیه اغتشاشی بین ناحیه‌های ترمومکانیک و ناحیه گرمایی می‌تواند به صورت نمودار لگاریتمی مدل شود حداکثر تنش کششی پسماند حدوداً ۱۰۰ مگا پاسکال و حداکثر تنش فشاری حدوداً ۴۰ مگا پاسکال به دست آمد که هر دو در قسمت فلنچ جوش قرار داشت. در سال ۲۰۱۲ جمشیدی [۳] پاسخ ترمومکانیکی یک جوشکاری اصطکاکی اغتشاشی غیرمشابه روی آلومینیوم‌های از جنس AA6061 و AA5086 را با مدل کردن آن در نرم‌افزار آباکوس به دست آورد و تنش پسماند را در نمونه‌های آزمایشگاهی با روش سوراخکاری مرکزی به دست آورد و با مدل‌سازی انجام شده مقایسه کرد او نشان داد که سرعت چرخشی ابزار روی حداکثر تنش پسماند تأثیر دارد و سرعت پیشرشی ابزار روی توزیع تنش عرضی پسماند تأثیرگذار است و نشان داد که تنش عرضی در جوشکاری اصطکاکی حدود ۴۰ تا ۶۰ درصد تنش پسماند طولی است. در سال ۲۰۰۸ تینگلی [۴] با استفاده از روش سوراخکاری مرکزی در ورق آلومینیوم با ضخامت ۳ میلی‌متر و از جنس AA2024-T6 تنش پسماند را در جوشکاری اصطکاکی به دست آورد او نشان داد که بیشترین تنش پسماند طولی در این نوع آلومینیوم برابر ۱۶/۴۵ مگا پاسکال است همچنین نشان داد که تنش پسماند طولی نسبت به تنش پسماند عرضی بیشتر است، فاصله بین دو سوراخ و همچنین فاصله از لبه را ۱۰ میلی‌متر در نظر گرفت. در سال ۲۰۱۱ ریچتر [۵] تنش پسماند را به روش کانتور در جوشکار اصطکاکی اغتشاشی روی آلومینیومی با ضخامت ۳ میلی‌متر و از جنس AA6082-T6 به دست آورده و برای اعتبار بخشی به آن از روش سوراخکاری مرکزی استفاده کرده است و نشان داد که با اختلاف ناچیزی نتایج یکسانی از این روش‌ها به دست آمد. همچنین جمشیدی [۶] در سال ۲۰۱۵ جوشکاری اصطکاکی اغتشاشی را برای یک جوشکاری غیر متشابه بین آلومنیوم‌های سری ۷۰۰۰ (AA7070-T6) و سری ۶۰۰۰ (AA6082-T6) مدل‌سازی کرد و گرمای ورودی جوشکاری و پیری جوش را در تنش پسماند و میکرو ساختار بررسی کرد. او ابتدا با نصب ۶ ترمومکوپل روی قطعه در سطح مقطع مختلف دما را در طول جوشکاری در این سه مقطع اندازه‌گیری کرد سپس برای اندازه‌گیری استحکام قطعات، آزمون کشش را انجام داد و تنش پسماند را نیز با

¹ T-joint

۲-۲- اصول روش سوراخکاری مرکزی

روش سوراخکاری مرکزی پر استفاده ترین روش در اندازه گیری تنش پسماند است این روش ارزان، آسان، در دسترس و سریع است به همین دلیل پر کاربرد بوده و به صورت استاندارد [۱۳] در آمده است.



شکل ۱- طرحواره جوشکاری اصطکاکی اغتشاشی و ابعاد نمونه آزمون [۱۲]

گام هایی که به ترتیب برای انجام روش سوراخکاری مرکزی بکار برده می شود عبارتند از: قرار دادن کرنش سنج ۳ عضوی بر روی نمونه، اتصال کرنش سنجها به دستگاه داده برداری و تنظیم آن، قرار دادن یک دستگاه برای سوراخ زنی در وسط روزت و انجام عملیات سوراخ زنی، ثبت نتایج و تبدیل آنها به تنش های پسماند از طریق روابط موجود می باشد.

این روش با توجه به اندازه سوراخ و همچنین عمق آن یک روش نیمه مخرب محسوب می شود (قطر و عمق سوراخ معمولاً $\frac{1}{8}$ تا $\frac{3}{2}$ میلی متر است) در بعضی موارد این سوراخ را صاف کرده و یا از آن صرف نظر می کنند. در سال ۱۹۵۶ کلسی [۱۴] برای اولین بار مسئله تغییرات تنش پسماند در راستای ضخامت را به کمک این روش مطالعه کرد. شاجر [۱۵] در سال ۱۹۸۱ برای اولین بار روش المان محدود را در سوراخ زنی مرکزی ارائه و ضرایب کالیبره A و B را معرفی کرد. وی در سال ۱۹۸۸ [۱۶] ضرایب خود را تصحیح کرد و ضرایب \bar{a} و \bar{b} که مستقل از جنس قطعه هستند را ارائه داد. در سال ۲۰۱۳ چان لیو [۱۷] با روش کانتور تغییرات تنش پسماند در راستای ضخامت AA6061 را اندازه گیری نمود. در این پژوهش با استفاده از روش تعیین تنش پسماند غیر یکنواخت مطابق استاندارد ASTM TML تغییرات تنش پسماند در عمق ۱ میلی متری از سطح برای هر نمونه و در سه نقطه مطابق شکل ۲ اندازه گیری شده است. از کرنش سنج نوع روزت با مدل FRS-2-23 شرکت TML استفاده شده است. شکل ۳ دستگاه SINT MTS 3000 میکروسکوپ دستگاه توربین هوا با سرعت بالا، نصب می گردد. سرعت سوراخ زنی در این آزمایش ۳۰۰۰۰ دور بر دقیقه در نظر گرفته شده

در این تحقیق با استفاده از جوش آرگون^۳ (TIG) و جوش اصطکاکی دو نوع آلیاژهای آلومینیوم از جنس AA7075-T6 و AA6061-T6 به هم جوشکاری شده و با استفاده از روش سوراخکاری مرکزی توزیع تنش های پسماند طولی و عرضی با فاصله از خط جوش برای هریک از جوشکاری ها اندازه گیری شده و با یکدیگر مقایسه شده اند. همچنین با استفاده از روش سوراخ زنی افزایش تغییرات تنش در راستای ضخامت برای هر دو نمونه اندازه گیری شده است. ضمناً میکرو سختی ویکرز طولی و عرضی با فاصله از خط جوش برای هریک از جوشکاری ها اندازه گیری شده و با یکدیگر مقایسه شده اند.

۲- روش های تجربی

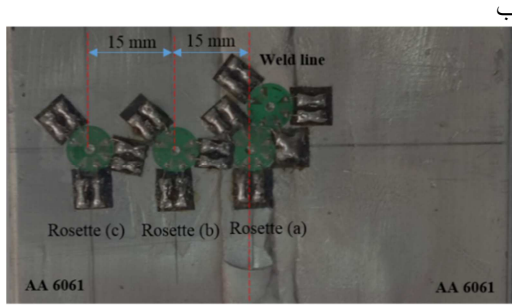
۲-۱- مواد و روش ساخت نمونه ها

در این پژوهش، آلیاژهای آلومینیوم از جنس AA7075-T6 و AA6061-T6 با ضخامت ۶ میلی متر و طول و عرض نمونه نهایی به ترتیب ۱۵۰ و ۱۵۰ میلی متر مطالعه شده است. خواص مکانیکی هر دو آلیاز از طریق آزمون بدست آمده و در جدول ۱ آورده شده است. در نمونه اول، از طریق جوشکاری اصطکاکی اغتشاشی دو آلیاز به یکدیگر متصل شده اند. پیکربندی جوشکاری اصطکاکی که در شکل ۱ مشخص است به گونه ای بود که آلیاز AA6061 در سمت پسروند و AA7075 در سمت پیشروند قرار گرفتند تا جوش خواص بهتری داشته باشد [۱۲]. ابزار استفاده شده از جنس فولاد H13 با قطر شانه ۲۵ میلی متر و قطر و ارتفاع پین به ترتیب ۱۰ و ۶ میلی متر است. سرعت دورانی ابزار ۱۱۱۵ دور بر دقیقه و سرعت پیشروی ۶۰ سانتی متر بر دقیقه در نظر گرفته شد.

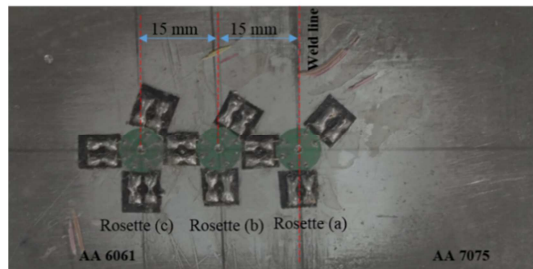
نمونه دوم با استفاده از فرایند جوش آرگون انجام شد این فرآیند بر روی آلومینیوم و آلیاژهایش بسیار مطالعه است. قوس الکتریکی بین الکترود غیر مصرفی تنگستن و سطح کار ایجاد می شود. نوک الکترود، حوضچه های مذاب و منطقه گرم اطراف آن توسط گاز خنثی (آرگون، هلیوم یا مخلوط آنها) که از اطراف الکترود خارج شده محافظت می شود فلز جوش عموماً از فلز قطعه کار و در بعضی موارد آمیزه ای از فلز و مفتول پر کننده است. در این تحقیق از سیم جوش آلومینیمی AL-Mg55356 استفاده شده است. ابعاد نمونه دقیقاً مشابه جوشکاری اصطکاکی در نظر گرفته شده است. این جوشکاری روی آلیاز AA6061 به صورت مشابه انجام شد. پارامترهای جوش از قبیل زاویه الکترود با قطعه کار ۴۵ درجه و در امتداد مسیر اتصال، سرعت پیشروی ۱۰ سانتی متر بر دقیقه، جریان ۱۲۰ آمپر، دبی گاز ۱۵ لیتر بر دقیقه در نظر گرفته شده و نوک تنگستن نیز با زاویه ۶۰ درجه تراشیده شده است.

جدول ۱- خواص مکانیکی فلز پایه از آزمون

Alloy	استحکام نهایی (MPa)	استحکام تسلیم (MPa)	HV (MPa)
AA7075-T6	560	498	150
AA6061-T6	310	276	95



شكل ٢- نقاط کرنش سنجی روی (الف) نمونه جوش اصطکاکی (ب) نمونه جوش ذوبی



شكل ٢- نقاط کرنش سنجی روی (الف) نمونه جوش اصطکاکی (ب) نمونه جوش ذوبی



شکل ۳- دستگاه استفاده شده برای سوراخ زنی مرحله‌ای با دقت بالا

٣ - نتایج

۱-۳-تنشیس، بساماند

تش پسماند در ناحیه جوش اغلب به صورت کششی است و در آلیاژهای آلومینیوم مقدار تنش پسماند به مقدار استحکام آلومینیوم بستگی دارد و با افزایش استحکام فلز تنش پسماند افزایش می‌یابد [۱۹]. در بین آلیاژهای آلومینیوم سری‌های ۲۰۰۰، ۶۰۰۰ و ۷۰۰۰ استحکام بالاتری نسبت به بقیه آلیاژها دارند و آلیاژ ۷۰۰۰ نسبت به آلیاژ ۶۰۰۰ استحکام بالاتر و در نتیجه تنش پسماند بیشتری دارد. مسئله دیگر درصد تنش پسماند به میزان استحکام در آلیاژهای آلومینیوم است. برای آلیاژ AA7075-T6 [۱۹] نشان داد که بیشترین تنش پسماند کششی ۲۲۵ مگا پاسکال است و استحکام آن ۵۲۵ مگا پاسکال است که نسبت تنش پسماند به استحکام برابر $\frac{43}{43}$ است. اما باید توجه داشت که جوشکاری اصطکاکی مناطق مختلفی دارد لذا وی نشان داد که کمترین مقدار استحکام در منطقه HAZ برابر ۳۲۵ مگا پاسکال بوده و درصد مذکور به $\frac{62}{62}$ افزایش می‌یابد. در شکل ۴ کرنش‌های آزادشده ناشی از سوراخ زنی ۲۰ مرحملهای مطابق با استاندارد ASTM توسط کرنش سنج ها در فواصل مختلف از مرکز جوش مطابق شکل ۲ ثبت شده و نشان داده شده است. همان‌طور که از شکل ۴ معلوم است از عمق حدود 0.7 میلی‌متر تغییرات کرنش آزادشده بر اثر افزایش عمق سوراخ روند صعودی خود را از دست داده و به سمت ثابت شدن میل می‌کند که علت آن محدودیت روش سوراخ زنی می‌باشد. یعنی با استفاده از روش سوراخکاری مرکزی، تنش پسماند را حداقل تا عمق ۱ میلی‌متری می‌توان با دقت قابل قبول

طبق استاندارد حداکثر تنفس قابل اندازه گیری در روش سوراخکاری
مرکزی نصف استحکام تسلیم فلز یا به است و مطابق جدول ۱ که

است. بر اساس مطالعات انجام شده توسط فلامان [۱۸] در سرعت های پایین خود سوراخ زنی در کتاره های سوراخ ایجاد نش پسمند می کند. بر اساس روش تعیین تنش پسماند غیر یکنواخت در استاندارد ۲۰ مرحله سوراخ زنی با عمق هر مرحله ۰/۰۵ میلی متر انجام شده است. در ابتدا با استفاده از کرنش های خوانده شده از هر کرنش سنج متغیر های جدید P , q و t تعریف می گردند.

$$p = \frac{\varepsilon_1 + \varepsilon_3}{2} \quad (1)$$

$$q = \frac{\varepsilon_3 - \varepsilon_1}{2} \quad (2)$$

$$t = \frac{\varepsilon_1 + \varepsilon_3 - 2\varepsilon_2}{2} \quad (\text{3})$$

که ۸ ها کرنش‌های آزادشده از روزت هستند. سپس با استفاده از معادلات به دست آمده توسط شاجر [۱۶] ترکیب تنش‌های P ، Q و T که مطابق معادلات (۴-۶) به دست می‌آیند با استفاده از ضرایب کالیبراسیون مطابق معادلات (۷-۹) به کرنش‌های خوانده شده مرتبط می‌شود.

$$P = \frac{\sigma_1 + \sigma_2}{2} \quad (\text{F})$$

$$Q = \frac{\sigma_2 - \sigma_1}{2} \quad (\Delta)$$

$$T = \tau_{13}^z \quad (8)$$

$$\bar{a}P = \frac{Ep}{1+v} \quad (\text{Y})$$

$$\bar{b}Q = Eq \quad (\lambda)$$

که در آن E مدول یانگ و τ ضریب پواسون قطعه موردنظر می‌باشند. \bar{a} و \bar{b} ضرایب کالیبراسیون و σ و τ هم به ترتیب تنش نرمال و برشی در صفحه می‌باشند. با استفاده از تنش‌های بهدست آمده و روابط الاستیسیته تنش‌های اصلی در هر لایه به صورت معادله (۱۰) به دست می‌آید. که در آن اندیس k مربوط به هر لایه است.

$$\begin{aligned} & (\sigma_{max})_k, (\sigma_{min})_k \\ & = P_k \pm \end{aligned} \quad (14)$$

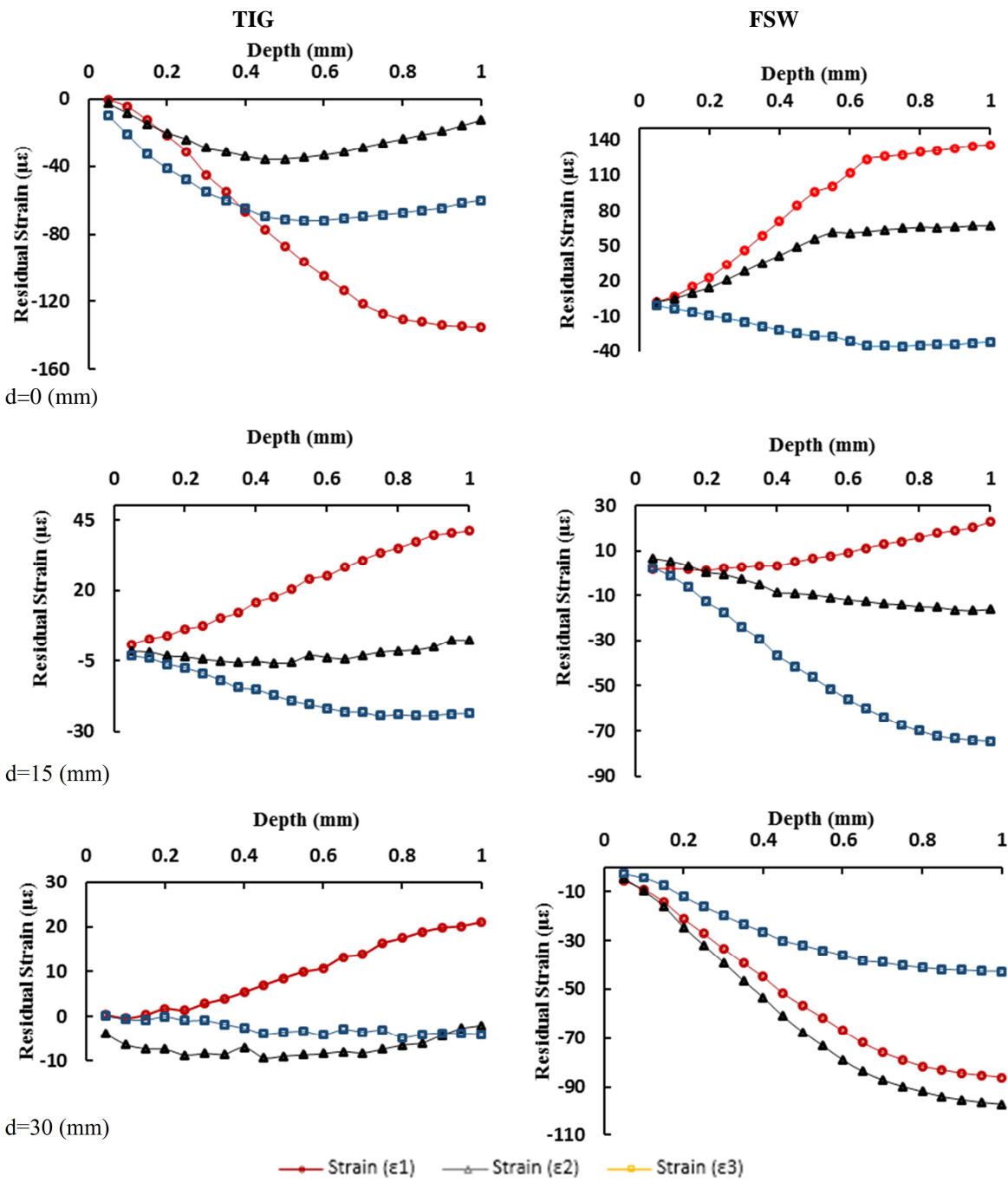
$$\sqrt{{Q_k}^2 + {T_k}^2} = E \left[\frac{p}{\bar{a}(1+v)} \pm \frac{\sqrt{q^2 + t^2}}{\bar{b}} \right]$$

$$\beta_k = \frac{1}{2} \tan^{-1} \left(\frac{T_k}{Q_k} \right) = \frac{1}{2} \tan^{-1} \left(\frac{t}{q} \right) \quad (11)$$

¹ Heat affected zone

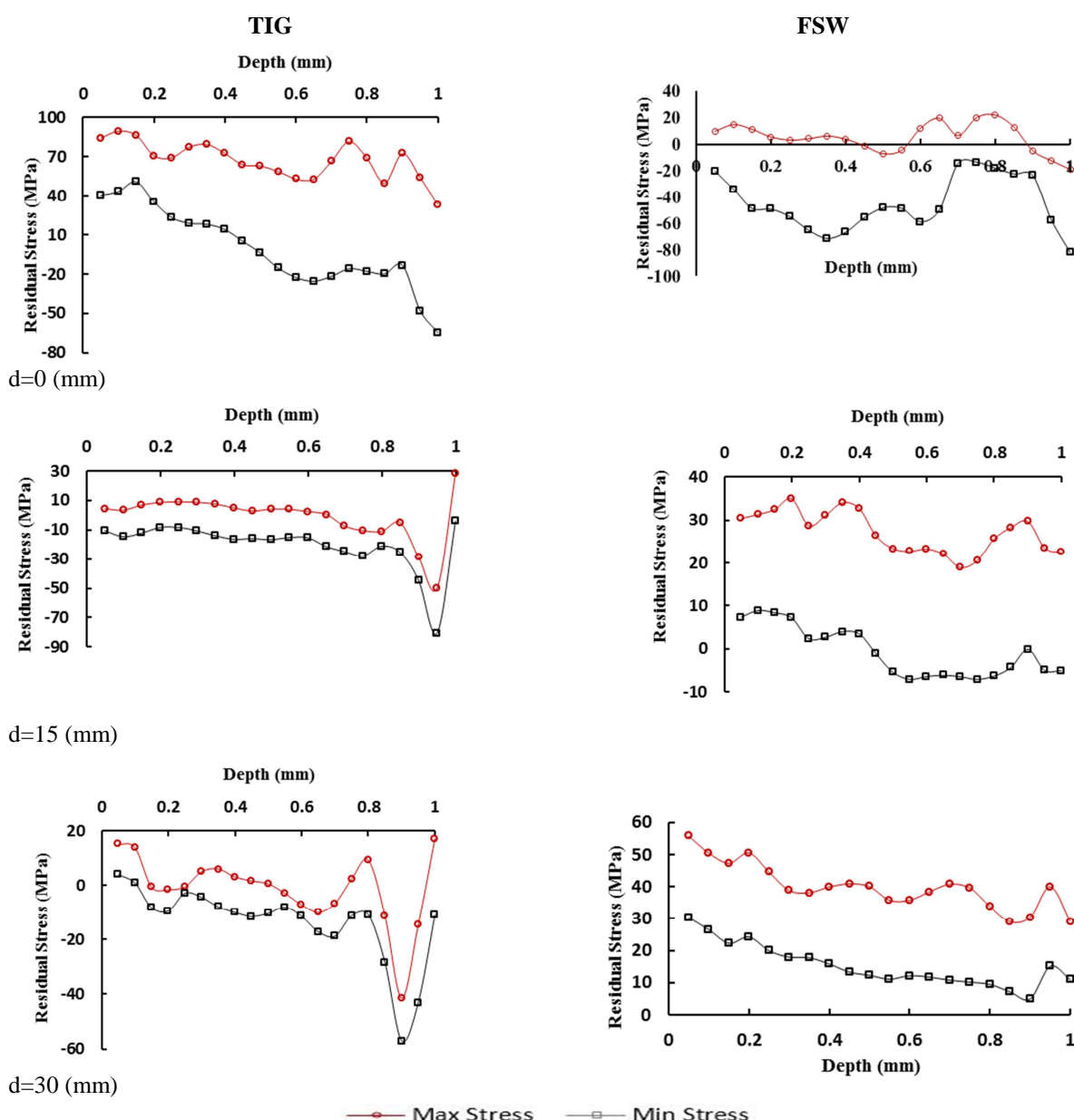
به دست آمده در هیچ حالتی به نصف استحکام قطعه نرسیده است.

استحکام آلیاژهای مورد استفاده را نشان می‌دهد تنش‌های پسماند



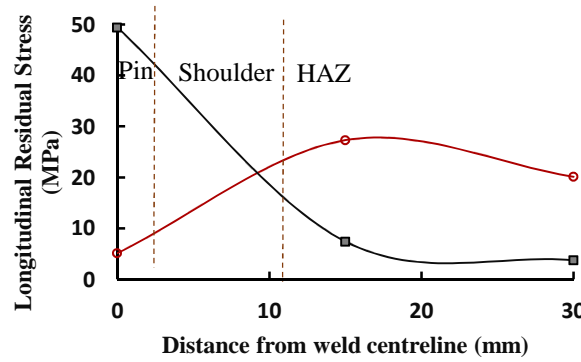
شکل ۴- کرنش‌های آزادشده ناشی از سوراخکاری در نمونه‌های جوش اصطکاکی (TIG) و ذوبی (FSW) با فاصله d از خط جوش

شده است. با توجه به شکل، در جوش ذوبی بیشینه تنش روی خط جوش و به صورت کششی است و در بیشترین مقدار به $89/5$ مگا پاسکال می‌رسد که با افزایش عمق، تنش بیشینه کاهش یافته و در کمترین مقدار خود به $33/5$ مگا پاسکال می‌رسد. با دور شدن از خط جوش برای فاصله‌های 15 و 30 میلی‌متر تنش‌های بیشینه و کمینه برای جوش ذوبی کاهش یافته و به صفر نزدیک می‌شوند که نشان‌دهنده این است که بحرانی‌ترین نقطه در جوش ذوبی روی خط جوش و در سطح قطعه اتفاق می‌افتد که علت آن تمرکز حرارت ورودی به قطعه از طریق الکترود است. در صورتی که در جوش اصطکاکی در خط جوش تنش بحرانی به صورت کششی و مقدار آن $55/82$ مگا پاسکال است که با افزایش عمق این مقدار کاهش یافته و با دور شدن از خط جوش مقدار آن افزایش می‌باشد.



شکل ۵- تغییرات تنش پسماند بیشینه و کمینه با فاصله از خط جوش برای نمونه جوش اصطکاکی (TIG) و ذوبی (FSW)

صدیقی و همکارانش [۲۰] در همین مورد مطالعاتی در تعیین ضرایب کالیبراسیون با استفاده از مدل‌سازی المان محدود برای تنش غیریکنواخت در راستای عمق انجام داده و با استفاده از روش سوراخکاری مرکزی افزایشی تنش پسماند را در آزمون خمش چهار نقطه به دست آورد و با مقدار تئوری آن مقایسه کردند. آنها نشان دادند که تا گام هفتم سوراخ زنی دقت نتایج مناسب است ولی در سه گام پایانی نتایج قابل قبولی به دست نمی‌آید. با توجه به شکل ۴ بیشترین کرنش آزادشده مربوط به روزت a روی نمونه جوش ذوبی است که بیشترین مقدار آن برابر -160 مگا پاسکال است و با افزایش فاصله از خط جوش برای نمونه ذوبی اندازه کرنش‌های آزادشده کاهش می‌یابد. با استفاده از رابطه از 10 تنش‌های بیشینه و کمینه برای تمام روزت‌ها در هر لایه بدیت آمده و در شکل 5 نشان داده



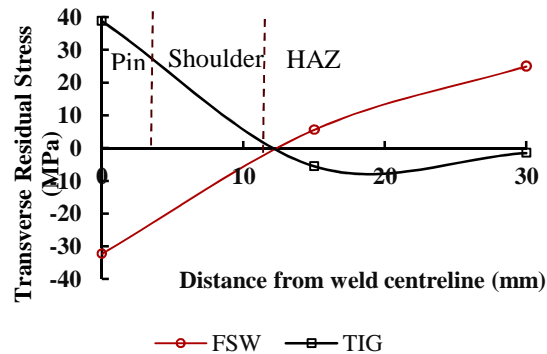
شکل ۷- تغییرات تنش پسماند عرضی با فاصله از خط جوش برای نمونه‌های جوش اصطکاکی و ذوبی

۲-۳- میکرو سختی

سختی سطح مقطع نمونه‌های جوشکاری شده به دو روش ذوبی و اصطکاکی اغتشاشی با استفاده از دستگاه میکرو سختی سنج ویکرز و با اعمال بار ۱۰۰ گرم به مدت ۱۵ ثانیه و برای تعداد زیادی نقطه به فاصله یک میلی‌متر از هم در امتداد مقطع جوش تعیین گردید. حین فرایند جوشکاری اصطکاکی اغتشاشی آلیاژهای آلومینیوم اعم از انواع عملیاتی حرارتی پذیر و غیرقابل عملیات حرارتی، ناحیه ناگت ریزساختاری تبلور مجدد یافته از خود نشان دهد که در مورد آلیاژهای عملیات حرارتی پذیر آلومینیوم، وجود دماهای کاری بالا حین فرایند در ناحیه ناگت و مقدار جزئی در ناحیه متأثر از حرارت و کار مکانیکی، موجب احلال بخشی از فازهای رسوبی می‌شوند [۲۱]. درنتیجه مقداری نرم شدگی در ناحیه جوش در فلزات عملیات حرارتی پذیر که در حالت T6 عملیات حرارتی شدند انتظار می‌رود. همچنین مقداری درشت شدن دانه و نرم شدگی در ناحیه متأثر از حرارت نیز به وجود می‌آید. ازانجکه ناحیه متأثر از حرارت فلز پایه را ناحیه متأثر از حرارت و کار مکانیکی و ناحیه متأثر از حرارت و کار مکانیکی نیز ناحیه متأثر از حرارت را به ناگت متصل می‌کند لذا درنهایت توزیع سختی در مقطع اتصال بهصورت W شکل خواهد شد که ناحیه متأثر از حرارت کمترین مقدار را دراین‌بین خواهد داشت.

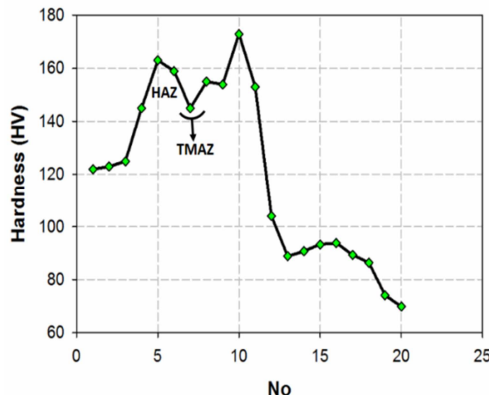
تغییر شکل پلاستیک شدید و ایجاد دمای بالا در منطقه اغتشاش در طول فرایند FSW باعث تبلور مجدد و توسعه ساختار جوش در منطقه اغتشاش و حل شدن و بزرگ شدن رسوبات درون و اطراف منطقه اغتشاش می‌شود. تغییر شکل پلاستیک شدید و حرارت ایجادشده در طول فرایند باعث ایجاد یکسری ساختار تبلور مجدد یافته ریزدانه در ناحیه اغتشاش یافته می‌شود. این ناحیه اغلب ناحیه جوش یا ناحیه تبلور مجدد یافته دینامیکی (DXZ) نامیده می‌شود. در اثر فرایند FSW این ناحیه بهصورت ساختار حلقه‌ای مانند حلقه‌های پیاز دیده می‌شود به خوبی پذیرفته شده است که تبلور مجدد دینامیکی در طول فرایند FSW سبب ایجاد دانه‌های ریز و ظرفی تک محوره در منطقه جوش می‌شود. پارامترهای جوشکاری، هندسه ابزار، ترکیب قطعه کار، دمای قطعه کار، فشار عمودی و سرد کردن تأثیر زیادی روی اندازه

شکل‌های ۶ و ۷ به ترتیب تغییرات تنش پسماند طولی و عرضی را برای جوش اصطکاکی اغتشاشی و ذوبی نشان می‌دهند. تنش پسماند طولی و عرضی در جوشکاری ذوبی آلومینیوم با فاصله از خط جوش کاهش یافته و به صفر میل می‌کند ولی در جوش اصطکاکی با افزایش فاصله از خط جوش ابتدا تنش افزایش پیدا کرده و به مقدار بیشینه خود می‌رسد و سپس کاهش پیدا کرده و به صفر میل می‌کند. تنش پسماند بیشینه در جوشکاری ذوبی به مراتب بیشتر از جوش اصطکاکی است و این به دلیل این است که در جوش ذوبی قطعه ذوب می‌گردد و هنگام سرد شدن به دلیل اختلاف دمای بیشتر، تنش‌های حرارتی بیشتری تولید می‌گردد. همچنین بیشینه تنش در جوش ذوبی درست در محل جوش نمی‌گردد. گرما در جوشکاری اصطکاکی محسوب می‌گردد. چون قطر شانه ابزار ۲۵ میلی‌متر است گرما به صورت گستره‌های توپر وارد قطعه شده و تنش پسماند کمتری در خط جوش به وجود آورده و بیشینه تنش پسماند را از خط جوش دور می‌کند. درحالی که در جوش ذوبی محل ورود گرما سطح خیلی کمتری را داشته و تمرکز انتقال گرما صورت می‌گیرد که این موضوع باعث افزایش بیشینه تنش پسماند و نزدیک شدن مکان بیشینه تنش به خط جوش می‌شود.



شکل ۶- تغییرات تنش پسماند طولی با فاصله از خط جوش برای نمونه‌های جوش اصطکاکی و ذوبی

پس بهطور کلی می‌توان نتیجه گرفت که تنش پسماند در جوشکاری اصطکاکی اغتشاشی توزیع یکنواخت‌تر و البته از نظر اندازه مقدار کمتری نسبت به تنش‌های پسماند در جوشکاری ذوبی دارد و این یکی از دلایل استفاده روزافزون از جوشکاری اصطکاکی اغتشاشی است.



شکل ۹- تغییرات سختی برای جوش کاری اصطکاکی اغتشاشی آلیاژ ۶۰۶۱ به ۷۰۷۵

۴- نتیجه‌گیری

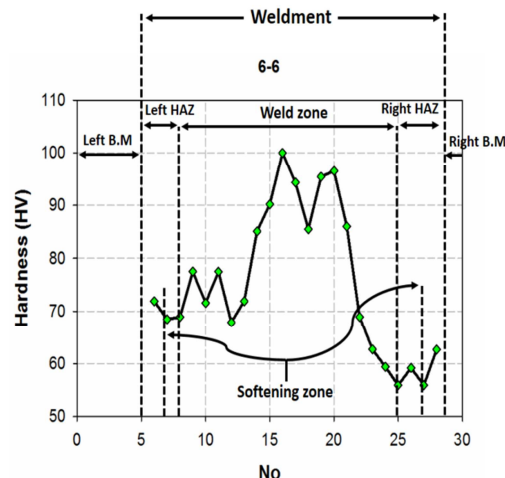
- بر اساس نتایج بدست آمده در این تحقیق تنش پسماند در جوشکاری ذوبی آلومینیوم با فاصله از خط جوش کاهش می‌یابد و به صفر می‌کند ولی در جوش اصطکاکی با افزایش فاصله از خط جوش ابتدا تنش افزایش پیدا کرده و به مقدار بیشینه خود می‌رسد و سپس کاهش پیدا می‌کند.
- تنش پسماند بیشینه در جوش ذوبی به مرتب بیشتر از جوش اصطکاکی است که علت آن ذوب قطعه در جوش ذوبی و تولید حرارت بیشتر می‌باشد.
- بیشینه تنش در جوش ذوبی درست در محل خط جوش است ولی در جوش اصطکاکی با فاصله از خط جوش تنش پسماند بیشینه می‌گردد و این به خاطر قطر شانه ابزار است که منع اصلی تولید گرما در جوشکاری اصطکاکی محسوب می‌گردد.
- نتایج بدست آمده نشان داد که در جوش کاری اصطکاکی منطقه TMAZ میزان سختی کمتری نسبت به منطقه HAZ و ناگت را دارا است اما سختی آن از سختی فلز پایه بیشتر است.

۵- مراجع

- Bastier A., Maitournam M. H., Roger F., and Dang Van K., Modelling of the residual state of friction stir welded plates, Journal of Materials Processing Technology, vol. 200, pp. 25-37, 5/8/2008.
- Castro R. A. S., Richter-Trummer V., and Tavares S. M. O., Friction stir welding on T-joints: residual stress evaluation, in 8º Congresso Nacional de Mecânica Experimental, 2010.
- Hamed Jamshidi A., Serajzadeh S., and Kokabi H. A., Experimental and theoretical evaluations of thermal histories and residual stresses in dissimilar friction stir welding of AA5086-AA6061," The International Journal of Advanced Manufacturing Technology, Vol. 61, pp. 149-160, 2012.
- Ting L. and Qing-yu S., Residual stresses of friction stir welded 2024-T4 joints, Materials Science Forum, Vol. 582, pp. 263-266, 2008.
- Richter-Trummer V., Moreira P. M. G. P., and Ribeiro J., The contour method for residual stress determination applied to an AA6082-T6 friction stir butt weld, Materials Science Forum, Vol. 681, pp. 177-188, 2011..

دانه‌های تبلور مجدد یافته می‌گذارد و طبق رابطه اج-هال با ریزتر شدن دانه‌ها سختی افزایش می‌یابد.

شکل‌های ۸ و ۹ تغییرات میکرو سختی در امتداد مقطع جوش ذوبی و اصطکاکی اغتشاشی (ناهم‌جنس ۶۰۶۱ به ۷۰۷۵) را نشان می‌دهد. همان‌طوری که از نمودار شکل ۸ مشخص است به دلیل بالا بودن شیب و تنش پسماند حرارتی منطقه جوش در حین سرد شدن، سختی میانگین منطقه جوش از بقیه قسمت‌ها بالاتر است. این پدیده در منطقه HAZ با توجه به افزایش اندازه دانه‌ها و میکرو ساختار منجر به کاهش چشمگیر سختی شده است که مؤید وقوع پدیده نرم شوندگی HAZ می‌باشد. در مناطقی از نمودار که سختی افزایش یافته است، علت اصلی وجود رسوبات پراکنده Mg2Al-FeSi در ساختار Al6061 می‌باشد که منجر به افزایش موضعی مقدار سختی جوش گردیده است. ضمن آنکه در فلز پایه با توجه به شیب حرارتی بسیار آرام و عدم وجود تنش‌های پسماند ناشی از جوشکاری و نیز با توجه به عدم وجود ساختار خشن در دانه‌بندی، سختی فلز پایه نسبت به کل ناحیه جوش به نحو قابل ملاحظه‌ای کمتر می‌باشد.



شکل ۸- تغییرات سختی برای جوش کاری ذوبی آلومینیوم ۶۰۶۱

همچنان که از شکل ۹ برای اتصال ناهم‌جنس سری آلیاژ 6xxx به 7xxx مشخص است از نقطه یک تا یازده مربوط به آلیاژ سری ۷۰۷۵ می‌باشد. محل فصل مشترک برخورد دو آلیاژ با یکدیگر در منطقه ناگت، بین نقطه یازده و دوازده واقع شده است که از نقطه ۱۲ به بعد دچار افت شدید سختی می‌شود که نشان از ورود به آلیاژ آلومینیوم 6xxx می‌باشد. نقاط ۸ تا ۱۱ جزو منطقه اختلاط^۱ آلیاژ ۷۰۷۵ می‌باشد که سختی بالای نیز از خود نشان داده‌اند. نقطه ۷، منطقه TMAZ^۲ می‌باشد که سختی دچار کمی افت سختی شده است. از نقطه ۱۶ تا ۲۶ نیز منطقه HAZ جوش می‌باشد

¹ Stir zone

² Thermo-mechanically altered zone

- [6] Jamshidi Aval H., Microstructure and residual stress distributions in friction stir welding of dissimilar aluminium alloys," Materials & Design, Vol. 87, pp. 405-413, 2015.
- [7] Linton V. M. and Ripley M. I., Influence of time on residual stresses in friction stir welds in agehardenable 7xxx aluminium alloys, Acta Materialia, Vol. 56, pp. 4319-4327, 2008.
- [8] Woo W. and Feng Z., Neutron diffraction measurements of time-dependent residual stresses generated by severe thermomechanical deformation, Scripta Materialia, Vol. 61, pp. 624-627, 2009.
- [9] Caroline J., de M. B., Anne D., and Aude S., Torque, temperature and hardening precipitation evolution in dissimilar friction stir welds between 6061-T6 and 2014-T6 aluminum alloys, Journal of Materials Processing Technology, Vol. 213, pp. 826-837, 2013.
- [10] Cole E. G., Fehrenbacher A., Duffie N. A., and Zinn M. R., Weld temperature effects during friction stir welding of dissimilar aluminum alloys 6061-t6 and 7075-t6, The International Journal of Advanced Manufacturing Technology, Vol. 71, pp. 643-652, 2014.
- [11] Terasaki T. and Akiyama T., Mechanical Behaviour of Joints in FSW: Residual Stress, Inherent Strain and Heat Input Generated by Friction Stir Welding, Welding in the World, Vol. 47, pp. 24-31, 2003.
- [12] Guo J. F., Chen H. C., Sun C. N., Bi G., and Sun Z., Friction stir welding of dissimilar materials between AA6061and AA7075 Al alloys effects of process parameters, Materials and Design, Vol. 56, pp. 185-192 ,2014.
- [13] Standard Test Method for Determining Residual Stresses by the Hole-Drilling Strain-Gage Method, ed, 2013.
- [14] Kelsey R. A., Measuring Non-Uniform Residual Stresses by the Hole Drilling Method, Proceedings SESA, Vol. 14, pp. 181-194, 1956.
- [15] Schajer G. S., Application of Finite Element Calculations to Residual Stress Measurements, Journal of Engineering Materials and Technology, Vol. 103, pp. 157-163, 1981.
- [16] Schajer G. S., Measurement of Non-Uniform Residual Stresses Using the Hole-Drilling Method, Journal of Engineering Materials and Technology, vol. 110, pp. 338-343, 1988.
- [17] Liu C. and Yi X., Residual stress measurement on AA6061-T6 aluminum alloy friction stir butt welds using contour method, Materials & Design, Vol. 46 ,pp. 366-371, 4// 2013.
- [18] Flaman M. T., Mills B. E., Boag J. M., Analysis of Stress Variation-With-Depth Measurement Procedures for the Center-Hole Method of Residual Stress Measurement, Experimental Techniques, Vol. 11, pp. 35-37, 1987.
- [19] Lemmen H. J. K., Alderliesten R. C., Pieters R. R. G. M., Benedictus R., and P. J. A., Yield Strength and Residual Stress Measurements on Friction-Stir Welded Aluminum Alloys, Journal of Aircraft, Vol. 47, pp. 1570-1583, 2010.
- [20] Sedighi M., Khandae M., and Joudaki J., Calibration Coefficients for Residual Stress Measurement in Incremental Hole Drilling Method, Modares Mechanical Engineering, Vol. 11, pp. 19-27, 2011.
- [21] Azizi A., Zakeri Mehrabad V., Mostofi Zadeh A., and Azarafza R., Influence of friction stie welding process and tool parameters on strength properties of AA7075-T6 aluminium alloy joints," Modares Mechanical Engineering, Vol. 13, pp. 56-66, 2013.